

УДК 553.08:553.21/24:553.046  
DOI: 10.18799/24131830/2024/8/4708  
Шифр специальности ВАК: 1.6.10

## **Комплексное исследование распределения теллуро-висмутовой минерализации в рудах колчеданных месторождений Абыз и Малеевское (Республика Казахстан)**

**А.Н. Николаева<sup>✉</sup>, А.К. Мазуров**

*Национальный Исследовательский Томский политехнический университет, Россия, г. Томск*  
<sup>✉</sup>nikolaevaanastas759@gmail.com

**Аннотация.** В пределах образований энсиматических и энсиалических островных дуг на территории Центрального и Восточного Казахстана насчитывается более тридцати колчеданных месторождений, обогащенных медью, свинцом, цинком, золотом, серебром и редкометальной минерализацией, являющейся до настоящего времени недостаточно изученной. **Актуальность** исследования заключается в необходимости восполнения информации о теллуро-висмутовой минерализации в рудах колчеданных месторождений, сформированных в энсиматической (месторождение Абыз) и энсиалической (месторождение Малеевское) островодужных системах, для установления пространственной связи данного типа оруденения с геодинамическими обстановками и прогнозирования потенциала их попутного извлечения из руд. **Целью** работы явилось изучение и сравнение морфологических характеристик, закономерностей распределения и условий формирования теллуро-висмутовой минерализации в рудах колчеданных месторождений, образованных в разных островодужных геодинамических обстановках. **Методы:** масс-спектрометрия с индуктивно-связанной плазмой, минерографический и минералогический анализы, сканирующая электронная микроскопия в комплексе с рентгеноспектральным микроанализом, рамановская спектроскопия, термобарогеохимические исследования. **Результаты.** Сравнение колчеданных месторождений Рудноалтайской и Чингиз-Тарбагатайской островодужных систем показало многие черты их сходства и различия. Месторождения имеют многостадийное формирование и близкий механизм рудоотложения со сходными условиями образования теллуро-висмутовой минеральной ассоциации. Установлена пространственная связь данного типа оруденения с геодинамическими обстановками: для месторождения, приуроченного к палеоокеанической структуре, наблюдается преобладание теллурового элемента, а для месторождения, сформированного на континентальном рифте – висмутового.

**Ключевые слова:** теллур, висмут, колчеданные месторождения, Казахстан, Рудноалтайская и Чингиз-Тарбагатайская островные дуги

**Благодарности:** исследование выполнено при финансовой поддержке проекта FSWW-2023-0010.

**Для цитирования:** Николаева А.Н., Мазуров А.К. Комплексное исследование распределения теллуро-висмутовой минерализации в рудах колчеданных месторождений Абыз и Малеевское (Республика Казахстан) // Известия Томского политехнического университета. Инжиниринг георесурсов. – 2024. – Т. 335. – № 8. – С. 197–214. DOI: 10.18799/24131830/2024/8/4708

UDC 53.08:553.21/24:553.046  
DOI: 10.18799/24131830/2024/8/4708

## **Comprehensive research of the distribution of tellurium-bismuth mineralization in the ores of the Abyz and Maleevskoe sulfide deposits (Republic of Kazakhstan)**

**A.N. Nikolaeva<sup>✉</sup>, A.K. Mazurov**

*National Research Tomsk Polytechnic University, Tomsk, Russian Federation*  
<sup>✉</sup>nikolaevaanastas759@gmail.com

**Abstract.** Within the formations of ensimatic and ensialic island arcs in the territory of Central and Northern Kazakhstan, there are more than thirty pyrite deposits enriched in copper, lead, zinc, gold, silver and rare metal mineralization, which is still insufficiently studied. **Relevance.** The need to replenish information on tellurium-bismuth mineralization in ores of sulfide deposits formed in ensimatic (Abyz deposit) and ensialic (Maleevskoe deposit) island-arc systems, to establish a spatial connection of this type of mineralization with geodynamic conditions and predict the potential for their associated extraction from ore. **Aim.** To study and compare morphological characteristics, distribution patterns and conditions for the formation of tellurium-bismuth mineralization in ores of pyrite deposits formed in different island-arc geodynamic settings. **Methods.** Inductively coupled plasma mass spectrometry, mineragraphic and mineralogical analyses, scanning electron microscopy in combination with X-ray spectral microanalysis, Raman spectroscopy, thermobarogeochanical studies. **Results.** A comparison of the pyrite deposits of the Rudno-Altai and Chingiz-Tarbagatai island arc systems showed many similarities and differences between them. The deposits have a multi-stage formation and a similar mechanism of ore deposition with similar physico-chemical conditions for the formation of tellurium-bismuth mineralization. A spatial relationship between Te-Bi mineralization and geodynamic settings was established: for deposits associated with paleoceanic structures, a predominance of the tellurium element is observed, and for continental rifts, a predominance of the bismuth element.

**Keywords:** tellurium, bismuth, pyrite deposits, Kazakhstan, Rudno-Altai and Chingiz-Tarbagatai island arcs

**Acknowledgments:** The research was carried out within the framework of the State assignment «*Science № FSSWW-2023-0010*».

**For citation:** Nikolaeva A.N., Mazurov A.K. Features of tellurium-bismuth mineralization in ores of the Abyz and Maleevskoe purific deposits (Republic of Kazakhstan). *Bulletin of the Tomsk Polytechnic University. Geo Assets Engineering*, 2024, vol. 335, no. 8, pp. 197–214. DOI: 10.18799/24131830/2024/8/4708

## Введение

Одним из приоритетных направлений Государственной политики в области недропользования является стратегия комплексного использования руд. Для эффективной эксплуатации рудного сырья в производстве важно знать его минеральный состав и точное содержание примесей, которые в настоящее время свободно определяются современными аналитическими методами. Этот факт дает возможность оптимизации качества конечного продукта, что, в свою очередь, повышает эффективность и рентабельность производства цветных металлов.

Во многих работах по исследованию территории Казахстана [1–9] сделаны акценты на изучение и увязку особенностей металлогении месторождений с разнотипными геодинамическими обстановками. Среди прочего отмечается, что наиболее богатыми элементами-примесями являются колчеданные руды месторождений, приуроченных к палеостроводужным геодинамическим обстановкам. В 70–90-х гг. прошлого столетия по причине отсутствия необходимого оборудования в большинстве месторождений данного типа оставались слабо изученными примесные элементы, являющиеся востребованными промышленностью и имеющие высокую рыночную стоимость. Среди данных элементов-примесей до сих пор остаются слабоизученными металлоид теллур и металл висмут.

Характерной чертой Центрально-Азиатского орогенного пояса является широкое распространение вулканических комплексов, сформировавшихся в пределах островодужных систем с различным типом фундамента. При этом значительные площа-

ди занимают образования энсиматических островных дуг, среди которых Чингиз-Тарбагатайская островодужная система, формировавшаяся на протяжении кембрия и ордовика, является наиболее крупной подобной структурой западной части Центрально-Азиатского пояса. Именно в ней сконцентрированы основные промышленные колчеданные месторождения Центрального Казахстана [9].

Формирование основных промышленных колчеданных месторождений Рудного Алтая происходило с кембрия по девон в геодинамической обстановке, соответствующей зрелым внутренним островным дугам, по металлогеническому районированию объединяющимся в региональный Рудноалтайский пояс, представляющий собой активную континентальную окраину Алтае-Саянской складчатой области [10–13].

На основании имеющихся данных целью работы является изучение и сравнение условий формирования и закономерностей распределения теллуро-висмутовой минерализации в рудах колчеданных месторождений, приуроченных к разным геодинамическим обстановкам. Для этого нами были изучены руды двух колчеданных месторождений:

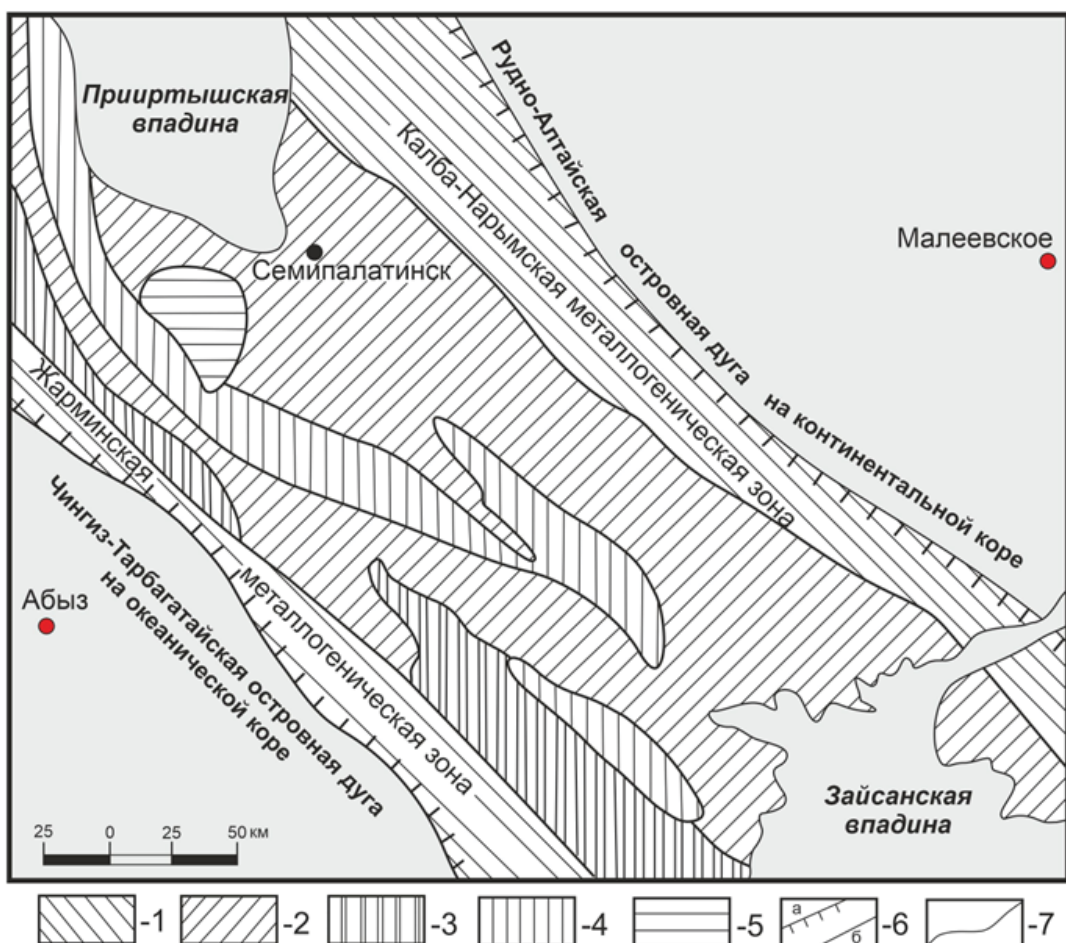
- месторождения Абыз, сформированного в пределах энсиматической Чингиз-Тарбагатайской островной дуги, развивающейся на океанической коре;
- месторождения Малеевское, приуроченного к энсиалической Рудноалтайской островной дуге, заложенной на коре континентального типа (рис. 1).

Для выполнения данного исследования были поставлены три основные задачи:

- изучить особенности минерального состава колчеданных руд и дать характеристику распределению основных рудных и сопутствующих примесных элементов в рудах;
- реконструировать стадийность процесса минералообразования и определить физико-химические условия формирования теллуро-висмутовой минерализации;
- дать прогнозно-металлогеническую оценку теллуро-висмуто-сырьевого потенциала для колчеданных месторождений, приуроченных к остро-водужным палеогеодинамическим обстановкам.

Решение этих вопросов весьма важно и актуально как в научном, так и в прикладном отношении. Помимо этого, с экологической точки зрения необходимость извлечения данных элементов из

руд заключается в их токсичности и существенном вкладе в деградацию почвенного покрова [14, 15]. Несмотря на то, что экологические последствия загрязнения почв висмутом (Bi) и теллуром (Te) исследованы весьма мало, масштабы и степень загрязнения ими почв с каждым годом увеличиваются. Шлаки, образующиеся в результате плавки руд и концентратов, вместе с хвостохранилищами все чаще становятся предметом серьезных экологических споров. Единственным способом снижения их негативного воздействия на окружающую среду может быть утилизация путем комплексного извлечения из руд и дальнейшее применение в качестве товарных продуктов (сплавы, термоэлектрические материалы, узкозонные полупроводники, производство пигментов, керамики и многое другое).



**Рис. 1.** Схематическое металлогеническое районирование Восточной и Центральной частей Казахстана [2] с дополнениями. Условные обозначения: 1 – энсиалические блоки зоны коллизии, 2 – энсиматические блоки зоны коллизии, 3 – террейны карбоновой островной дуги, 4 – сутура коллизионной зоны, 5 – область триасового континентального магматизма, 6 – границы коллизионной зоны (a) и блоков на различном основании (b), 7 – прочие геологические границы

**Fig. 1.** Schematic metallogenic zoning of the Eastern and Central parts of Kazakhstan [2] with additions. Legend: 1 – ensialic blocks of the collision zone, 2 – ensimatic blocks of the collision zone, 3 – terranes of the Carboniferous Island arc, 4 – suture of the collision zone, 5 – area of Triassic continental magmatism, 6 – boundaries of the collision zone (a) and blocks on different foundations (b), 7 – other geological boundaries

## Материал и методы исследования

Для решения поставленных задач из основных рудных тел месторождений Абыз и Малеевское были отобраны и изучены бороздовые и керновые пробы в количестве 210 единиц весом от одного до трех килограммов. В ходе научной работы применялся целый комплекс исследований. На первом этапе проводилось макроскопическое описание образцов для характеристики текстурных особенностей руд. Далее с целью изучения минерального состава, морфологии, размеров и характера срастания минералов, а также структурных особенностей руд на исследовательском микроскопе отраженного света Zeiss Imager 2m были выполнены минерографические исследования, для которых было изготовлено около 200 полированных шлифов (аншлифов). Для углубления знаний о морфологии теллуро-висмутовой минерализации и ее взаимосвязи с другими минералами было проведено изучение руд на сканирующем электронном микроскопе Tescan Vega 3 SBU с приставкой для рентгенфлюoresцентного энергодисперсионного анализа (ЭДС) OXFORD X-Max 50. В процессе исследования осуществлялась съемка поверхности руд и качественное определение состава зёрен по всей площади. Особое внимание уделялось разнообразным включениям минералов Te и Bi и взаимоотношению их с другими минеральными единицами. На предмет расшифровки условий образования теллуро-висмутовой минерализации были определены термокриометрические характеристики более 80 газово-жидких включений в жильном кварце с использованием комплекса термобарогеохимических методов. Опыты по нагреванию выполнены с помощью термокамеры THMSG-600 с программным обеспечением LinkSys-32 (Linkam). Прибор позволяет выполнить измерение фазовых переходов температур в интервале от –200 до +600 °C. Для определения состава газов во включениях использовался спектрометр комбинационного рассеяния с конфокальным микроскопом Thermo Scientific Raman Microscope DXR2. Для выявления примесных элементов и установления их содержания (ppm) в рудах была проведена масс-спектрометрия с индуктивно-связанной плазмой на масс-спектрометре Delta V Plus (Thermo Fisher Scientific, Бремен, Германия) в Казанском (Приволжском) Государственном университете.

## Геологическое строение месторождений

Месторождение Абыз находится в западной части Предчинизской зоны в области ее сочленения со структурами Токраурского синклиниория, разделенными меридиональным Центрально-Казахстанским разломом. Стратифицированные образования на месторождении представлены девонскими и неогено-

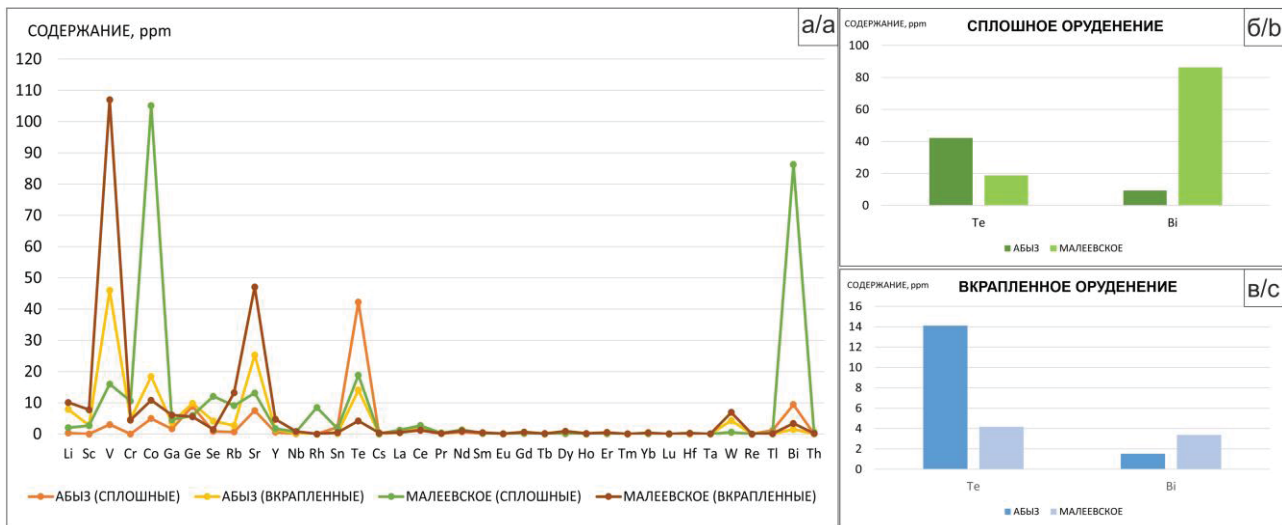
выми отложениями, а также рыхлыми четвертичными образованиями [16–18]. Рудовмещающей является вулканогенно-терригенная толща девонского возраста мощностью до 975 м, сложенная разнобломочными туфами андезитов, андезитобазальтов и их лавами с прослоями песчаников и гравелитов. Субулканнические образования, развитые в юго-восточной части месторождения, представлены среднедевонскими риолитами, трахидацитами, дацитами и гранит-порфирами. Для месторождения характерна сложная система разновозрастных тектонических нарушений, которые являются оперяющими структурами долгоживущего Центрально-Казахстанского глубинного разлома. Породы на месторождении претерпели процессы динамометаморфизма, а также подверглись гидротермально-метасоматическим изменениям, которые относятся к тектогенным региональным формациям и представлены пропилитовыми и березитовыми статическими устойчивыми ассоциациями. Оруденение связано с протяжённой зоной березитизации по вулканогенно-осадочным породам среднего-основного состава, а также их туфогенным производным и осадочным отложениям [17, 18].

Месторождение Малеевское располагается в Зыряновском рудном районе Лениногорско-Зыряновской подзоны Рудно-Алтайской структурно-формационной зоны [6, 19, 20]. В геологическом строении месторождения участвуют среднедевонские вулканогенно-осадочные отложения. Разрез насыщен субулканническими согласными и секущими телами порфировых риолитов, а также силлами и дайками базитов. В западном обрамлении рудного поля развиты интрузии габброидов и гранитоидов Змеиногорского комплекса. Тектоника представлена разрывными нарушениями северо-восточного простирации, характеризующимися зонами трещиноватости. В течение длительного геологического развития породы рудного поля претерпели различные метаморфические изменения: региональный, динамометрический, контактовый и гидротермальный метаморфизм. Рудообразование пространственно приурочено к березитовой формации [19, 20]. Оруденение локализуется в отложениях, сложенных известковистыми и углеродистыми песчаниками, алевролитами и алевропелитами, содержащими многочисленные силлы диабазов, тела риолитов и их лавобрекций.

## Результаты исследования

### Морфологическая характеристика Te-Bi-содержащих минералов

С целью выявления примесных элементов в рудах месторождений Малеевское и Абыз была проведена масс-спектрометрия с индуктивно-связанной плазмой.



**Рис. 2.** а) график содержания элементов-примесей в рудах месторождений Абыз и Малеевское; б, в) сравнительные диаграммы содержания теллура и висмута в сплошных (б) и вкрапленных (в) рудах месторождений

**Fig. 2.** а) graph of the content of trace elements in the ores of the Abyz and Maleevskoe deposits; b, c) comparative diagrams of tellurium and bismuth content in solid (b) and disseminated (c) ores of the deposits

Анализ показал широкий спектр редких примесных элементов (рис. 2), среди которых одними из преобладающих по содержанию являются полуметалл теллур и металл висмут. При этом стоит отметить, что при сравнении содержаний данных компонентов в рудах для месторождения Абыз фиксируется преобладание Тe (рис. 2, б), а для Малеевского – Bi (рис. 2, в).

Колчеданные руды месторождений Абыз (островная энсиматическая дуга) и Малеевское (островная энсиалическая дуга) имеют сходные текстурно-структурные характеристики и минеральный состав, но различаются количественными параметрами рудных минералов и элементным составом. Для месторождений наблюдаются аналогичные текстурные типы оруденения: сплошной (сливной) и вкрапленный [17].

Сплошные (сливные) руды на месторождении Абыз являются более распространенным типом оруденения и на 95–98 % сложены такими сульфидными минералами, как пирит  $FeS_2$ , халькопирит  $CuFeS_2$ , галенит  $PbS$ , сфалерит  $ZnS$ , спорадически тетраэдрит (минерал группы блеклых руд)  $(Cu, Fe)_{12}Sb_4S_{13}$ . В минеральном составе преобладают пирит и халькопирит, суммарно составляющие от 70 до 90 % объема рудной массы. Распределение данных минералов в руде неравномерное, при этом обычно халькопирит доминирует над пиритом. Нерудные минералы, составляющие не более 5 % объема сплошных руд, представлены кварцем и анкеритом. В качестве редких и акцессорных минералов в сплошных рудах диагностированы арсенопирит  $FeAsS$ , рутил  $TiO_2$ , электрум  $AuAg$ , самородное золото  $Au$ , циркон  $ZrSiO_4$ , теллуровисмутит  $Bi_2Te_3$ , кюстеллит  $AgAu$ , самородная медь  $Cu$ , раклиджит  $(Bi, Pb)_3Te_4$ , циркон  $ZrSiO_4$ , лаутит  $CuAsS$ , ченгуодайт  $Ag_9FeTe_2S_4$ , гессит  $Ag_2Te$ , штютцит  $Ag_5Te_3$ , петцит  $Ag_3AuTe_2$ , калаверит  $AuTe_2$ , колорадоит  $HgTe$ , монацит  $(Ce, La, Nd, Th)[PO_4]$  и тернемобит  $(Ce)-(Ce, La, Nd)_2Al(SiO_4)_2(OH)$ .

Вкрапленные руды примерно на 30–40 % сложены сульфидными и на 60–70 % – нерудными минералами. В составе сульфидов преобладают пирит и сфалерит, суммарно составляющие до 35–38 % рудной массы. В меньшем объеме в рудах данного типа диагностируются халькопирит и галенит. Нерудные минералы представлены кварцем и анкеритом, при этом в большем объеме в рудах распространен кварц. В качестве редких и акцессорных минералов выявлены рутил  $TiO_2$ , электрум  $AuAg$ , самородное золото  $Au$ , циркон  $ZrSiO_4$ , теллуровисмутит  $Bi_2Te_3$ , раклиджит  $(Bi, Pb)_3Te_4$ , калаверит  $AuTe_2$ , гессит  $Ag_2Te$ , штютцит  $Ag_5Te_3$  и монацит  $(Ce, La, Nd, Th)[PO_4]$ .

По отношению к вмещающим породам промышленное оруденение месторождения Абыз считается эпигенетическим. Руды являются поликомпонентными и в качестве редких в них отмечаются минералы теллуро-висмутового состава: алтайт  $(PbTe)$ , гессит  $(Ag_2Te)$ , теллуровисмутит  $(Bi_2Te_3)$ , раклиджит  $((Bi, Pb)_3Te_4)$ , петцит  $(Ag_3AuTe_2)$ , колорадоит  $(HgTe)$ . Впервые в рудах были диагностированы штютцит  $(Ag_5Te_3)$ , ченгуодайт  $(Ag_9FeTe_2S_4)$  и калаверит  $(AuTe_2)$ .

До 83 % выявленной минерализации приурочено к сплошному типу оруденения, где отмечаются такие минеральные виды, как алтайт, штютцит, гессит,

теллуромисмутит, ченгуодайт, раклиджит, петцит, калаверит и колорадоит. Вкрапленный тип оруденения содержит в себе до 17 % диагностированных минеральных агрегатов Te-Bi состава, представленных алтайтом, гесситом, теллуромисмутитом, раклиджитом, штютцитом и калаверитом [21, 22].

Минералы Te-Bi состава по химическому составу разделены нами на четыре системы (табл. 1). Для них выявлено многообразие форм выделения, а также общее сходство – приуроченность к сульфидным минералам.

*Алтайт (PbTe)*, являющийся теллуридом свинца из группы галенита, – самый распространенный минерал Te-Bi минерализации. Диагностирован как в сплошном, так и во вкрапленном типе оруденения. Выявленные агрегаты отмечаются в мономи-

неральном виде, формируясь в пустотах и трещинах в пирите, халькопирите и сфалерите. Агрегаты характеризуются округлыми, овальными и каплевидными формами выделения (рис. 3, a). Также наблюдаются просечковидные формы, образовавшиеся в результате заполнения минералом трещин в минералах-хозяевах, представленных пиритом и халькопиритом. Агрегаты уплощенные, соотношение их длины и ширины составляет 15:1, при этом средняя длина составляет 10 мкм. Агрегаты овальных, каплевидных и амебообразных форм чаще всего приурочены к сфалериту, халькопириту или к контакту пирита и халькопирита. Размерность включений варьирует в пределах 1,4–18 мкм. Спорадически алтайт создает ансамбли с гесситом в зернах пирита.

**Таблица 1. Общая характеристика минералов Te-Bi состава на месторождении Абыз**  
**Table 1. General characteristics of minerals of Te-Bi composition at the Abyz deposit**

Минерал Mineral	Рассчитанные усредненные фор- мульные коэффи- циенты [21] Calculated average formula coefficients [21]	Минерал-хозяин Host mineral	Форма выделения Selection form	Примеси (усред- ненные значе- ния) Impurities (average values)	Приуроченность к текстурно- структурному типу оруденения Confinement to the textural-structural type of mineralization
<b>Система Pb-Bi-Te/Pb-Bi-Te system</b>					
Алтайт Altaite	Pb <sub>1.01</sub> Te <sub>1.00</sub>	Пирит, халькопи- рит, сфалерит Pyrite, chalcopyrite, sphalerite	Угловатая, неправильная, амебообразная, просечковидная Angular, irregular, amoeba-shaped, perforated	Ag (3,59 %)	Сплошной Solid
Теллуромисмутит Tellurobismuthite	Bi <sub>1.90</sub> Te <sub>3.00</sub>	Пирит Pyrite	Угловатая, слабоизомет- рична со скосенными углами, овальная, каплевидная Angular, slightly isometric with beveled corners, oval, teardrop-shaped	–	Сплошной, вкрапленный Solid, interspersed
Раклиджит Raklijite	(Bi <sub>2.26</sub> , Pb <sub>0.75</sub> ) <sub>3.01</sub> Te <sub>4.00</sub>	Халькопирит, пирит, сфалерит Chalcopyrite, pyrite, sphalerite	Неправильная, слабоизометрична Irregular, weakly isometric	Ag (1,60 %) Cu (078 %) Fe (0,29 %)	Сплошной, вкрапленный Solid, interspersed
<b>Система Ag-Te, Fe<sub>2</sub>S/Ag-Te, Fe, S system</b>					
Ченгуодайт Chenguodayite	Ag <sub>8.93</sub> Fe <sub>0.99</sub> Te <sub>1.98</sub> S <sub>4.00</sub>	Халькопирит Chalcopyrite	Неправильная, округлая Irregular, round	–	Сплошной Solid
Гессит Gessite	Ag <sub>2.01</sub> Te <sub>1.00</sub>	Пирит, халькопирит Pyrite, chalcopyrite	Неправильная, округлая, Просечковидная Irregular, round, perforated	–	Сплошной, вкрапленный Solid, interspersed
Штютцит Stuttzite	Ag <sub>4.70</sub> Te <sub>3.00</sub>	Халькопирит, пирит, кварц Chalcopyrite, pyrite, quartz	Каплевидная, округлая, просечковидная Drop-shaped, rounded, perforated	–	Сплошной, вкрапленный Solid, interspersed
<b>Система Ag-Au-Te/Ag-Au-Te system</b>					
Петцит Petzite	Ag <sub>3.00</sub> Au <sub>1.00</sub> Te <sub>2.00</sub>	Пирит, халькопирит, кварц Pyrite, chalcopyrite, quartz	Слабоизометрична, неправильная, округлая Weakly isometric, irregular, rounded	–	Сплошной Solid
Калаверит Calaverite	Au <sub>0.98</sub> Te <sub>2.00</sub>	Пирит Pyrite	Овальная, каплевидная, округлая Oval, teardrop-shaped, round	–	Сплошной, вкрапленный Solid, interspersed
<b>Система Hg-Te/Hg-Te system</b>					
Колорадоит Coloradoite	Hg <sub>1.00</sub> Te <sub>1.00</sub>	Халькопирит, пирит, сфалерит Chalcopyrite, pyrite, sphalerite	Угловатая, неправильная Angular, irregular	–	Сплошной Solid

*Гессит ( $Ag_2Te$ )* – второй по распространенности минерал теллуро-висмутовой минерализации, обнаруженный в оруденении как сплошного, так и вкрапленного типа, при этом в первом типе отмечается большее количество агрегатов минерала. Теллурид серебра представлен в виде зернистых, неправильных, слабоокруглых агрегатов без каких-либо признаков кристаллографической огранки. Минерал сосредоточен преимущественно в трещинах и пустотах пирита (рис. 3, б) и халькопирита, спорадически заполняет интерстиции между данными сульфидами. Средний размер агрегатов варьирует в диапазоне 2–4 мкм. Зачастую гессит представлен в виде включений каплевидных форм размером до 0,5–1 мкм.

*Петцит ( $Ag_3AuTe_2$ )* является третьим по распространенности минералом, приуроченным исключительно к сплошному типу оруденения. В разрезе характеризуется неправильными включениями трапециевидных, прямоугольных и угловатых форм. Для теллурива наблюдается характерная черта – подчиненность к полостям с различными очертаниями. Нередко минерал заполняет интерстиции между пиритом и халькопиритом (рис. 3, в), тем самым образуя своеобразные формы выделения. Средний размер агрегатов составляет 1,45 мкм. Нередко для петцита характерно скопление зерен неправильных и округлых форм размером до 1 мкм в количестве 3–5 единиц.

*Теллуровисмутит ( $Bi_2Te_3$ )* является четвертым по распространенности минералом в рудах, фиксируется в оруденении сплошного и вкрапленного типов. Агрегаты образуют мономинеральные выделения в пирите (рис. 3, г). Формы их при этом достаточно разнообразные: угловатые, слабоизометричные со скошенными углами, овальные, каплевидные. Размерность теллурива висмута варьирует в диапазоне 0,5–7 мкм. Зачастую минерал образует скопления агрегатов в количестве 2–4 единиц.

*Раклиджит ( $(Bi,Pb)_3Te_4$ )* – минерал, относящийся к группе алексита, является пятым по распространенности минералом  $Te\text{-}Bi$  состава. Сосредоточен как в сплошных, так и во вкрапленных рудах с преобладанием к первому типу оруденения. Агрегаты минерала заполняют микропустоты и трещины в пирите, халькопирите и сфалерите, тем самым образуя своеобразные формы выделения: от слабоизометричных до неправильных амбообразных. Практически всегда раклиджит фиксируется в виде россыпи неправильных агрегатов (рис. 3, д) в количестве от 3 до 9 единиц. Размерность зерен варьирует в диапазоне 0,11–5 мкм.

*Штютцит ( $Ag_5Te_3$ )* является шестым по распространенности минералом. Обнаружен в обоих типах руд с преобладанием в сплошных рудах (рис. 3, е). Агрегаты штютцита представлены не-

правильными, слабоокруглыми зернами, заключенными в трещинах и пустотах пирита и халькопирита, в единичных случаях отмечены включения неправильных агрегатов штютцита в кварце на контакте с пиритом. Для минерала не характерно скопление агрегатов, отмечается лишь обособленные выделения размером от 0,81 до 15,79 мкм.

*Калаверит ( $AuTe_2$ )* является седьмым по распространенности минералом теллуро-висмутовой минерализации, распространен как в сплошном типе оруденения, так и во вкрапленном, с преобладанием агрегатов во втором типе. Калаверит в рудах встречается в виде агрегатов овальных, округлых и каплевидных форм. Развивается минерал исключительно по пустотным пространствам в пирите. Практически всегда халькогенид золота образует неравномерные скопления своих агрегатов (рис. 3, ж), спорадически пространственно ассоциирует с гесситом и единично с колорадоитом. Размеры агрегатов варьируют в пределах 0,25–4 мкм с преобладанием более крупных величин.

*Колорадоит ( $HgTe$ )*, являющийся весьма редким минералом теллурива ртути из группы сфалерита, по распространенности представлен восьмым минералом, отмечаяющимся исключительно в сплошном типе оруденения. Обычно халькогенид ртути заполняет трещины и пустоты в пирите (рис. 3, з), сфалерите и халькопирите, за счет чего и образует неправильные и угловатые формы выделения. Размерность агрегатов варьирует в диапазоне 2,5–3,5 мкм. Спорадически для минерала выявлены случаи парагенетической ассоциации с калаверитом и петцитом.

*Ченгуодайт ( $Ag_9FeTe_2S_4$ )* диагностирован исключительно в сплошных рудах, не превышает 0,5 % от общего объема теллуро-висмутовой минерализации. Минерал развит исключительно в сплошных рудах, образуя неправильные микроподключения размером от 2 до 9 мкм. Агрегаты зерен характеризуются неправильными иногда угловатыми формами размером от 2 до 9 мкм. Зачастую ченгуодайт заполняет трещины в халькопирите, образуя уплощенные и неправильные амбообразные агрегаты размером в среднем 5 мкм. Также для минерала характерны неравномерно вкрапленные россыпи (рис. 3, и).

Судя по обилию различных теллуридов в рудах месторождения Абыз, можно полагать, что химический потенциал теллура в гидротермальных растворах был весьма высок.

Аналогично месторождению Абыз, на месторождении Малеевское нами по текстурно-структурным особенностям выделены два типа руд.

*Руды сплошного (сливного) типа*, являющиеся доминирующим типом на Малеевском месторождении, на 90–95 % сложены сульфидами, где глав-

ными минералами представлены халькопирит  $\text{CuFeS}_2$  и пирит  $\text{FeS}_2$ , суммарно составляющие до 85 % объема рудной минерализации. Практически всегда халькопирит преобладает, но иногда отмечаются случаи, когда данные минералы находятся практически в равном соотношении. В меньшем объеме диагностированы такие сульфиды, как сфалерит  $\text{ZnS}$ , галенит  $\text{PbS}$ , тетраэдрит  $(\text{Cu}, \text{Fe})_{12}\text{Sb}_4\text{S}_{13}$  и арсенопирит  $\text{FeAsS}$ , спорадически проявлен молибденит  $\text{MoS}_2$ . В качестве нерудных минералов диагностированы кварц  $\text{SiO}_2$ , анкерит  $\text{Ca}(\text{Fe}, \text{Mg}, \text{Mn})(\text{CO}_3)_2$  и барит  $\text{BaSO}_4$ , в процентном содержании занимающие не более 5 % объема. В процессе изучения сплошных руд в качестве акцессорных и редких минералов в них были отмечены рутил  $\text{TiO}_2$ , самородное золото  $\text{Au}$ , электрум  $\text{AuAg}$ , ильменит  $\text{FeTiO}_3$ , кассiterит  $\text{SnO}_2$ , циркон  $\text{ZrSiO}_4$ , фаматинит  $\text{Cu}_3\text{SbS}_4$ , фрейбергит  $\text{Ag}_6\text{Cu}_4\text{Fe}_2\text{Sb}_4\text{S}_{13}$ , гессит  $\text{Ag}_2\text{Te}$ , самородный висмут  $\text{Bi}$ , сстрокант  $\text{Bi}_3\text{TeS}_2$ , ксилингойт  $\text{Pb}_3\text{Bi}_2\text{S}_6$ , изоклейкит  $\text{Pb}_{27}(\text{Cu}, \text{Fe})_2(\text{Sb}, \text{Bi})_{19}\text{S}_{57}$ , монацит  $(\text{Ce}, \text{La}, \text{Nd}, \text{Th})[\text{PO}_4]$  и рабдофан  $(\text{Ce}, \text{La})\text{PO}_4 \cdot \text{H}_2\text{O}$  [22–41].

*Вкрашенные руды* характеризуются крайне неравномерной густой вкрапленностью рудных агрегатов в нерудной массе. Обычно содержание сульфидов не превышает 45 %, в то время как нерудные минералы могут заполнять до 60 % объема руды.

Пирит со сфалеритом являются доминирующими сульфидными минералами, занимающими до 85 % объема рудной минерализации. Халькопирит, представленный второстепенным сульфидом, является цементатором для пирита и сфалерита, нередко заполняет трещинки и пустоты в пирите. Зачастую в ассоциации с халькопиритом и сфалеритом встречается галенит. Спорадически в рудах присутствует тетраэдрит. Нерудные минералы представлены кварцем и анкеритом с преобладанием первого минерала. В качестве редких минералов во вкрашенных рудах выявлены барит  $\text{BaSO}_4$ , алтант  $\text{PbTe}$ , цервеллит  $\text{Ag}_4\text{TeS}$ , монацит  $(\text{Ce}, \text{La}, \text{Nd}, \text{Th})[\text{PO}_4]$ , самородное золото  $\text{Au}$ , рутил  $\text{TiO}_2$ , электрум  $\text{AuAg}$ , рабдофан  $(\text{Ce}, \text{La})\text{PO}_4 \cdot \text{H}_2\text{O}$ , плюмботеллурит  $\text{PbTeO}_3$ , циркон  $\text{ZrSiO}_4$ , гессит  $\text{Ag}_2\text{Te}_2$ .

Оруденение на Малеевском месторождении подверглось эпигенетическим процессам. Руды характеризуются своей сложностью и поликомпонентностью. В ходе исследования установлен обширный ряд редких минералов [21, 22], приуроченных к Te-Bi минерализации: алтант ( $\text{PbTe}$ ), гессит ( $\text{Ag}_2\text{Te}$ ), самородный висмут ( $\text{Bi}$ ), сстрокант ( $\text{Bi}_3\text{TeS}_2$ ), изоклейкит ( $\text{Pb}_{27}(\text{Cu}, \text{Fe})_2(\text{Sb}, \text{Bi})_{19}\text{S}_{57}$ ). Впервые в рудах были диагностированы цервеллит ( $\text{Ag}_4\text{TeS}$ ), ксилингойт ( $\text{Pb}_3\text{Bi}_2\text{S}_6$ ) и плюмботеллурит ( $\text{PbTeO}_3$ ).

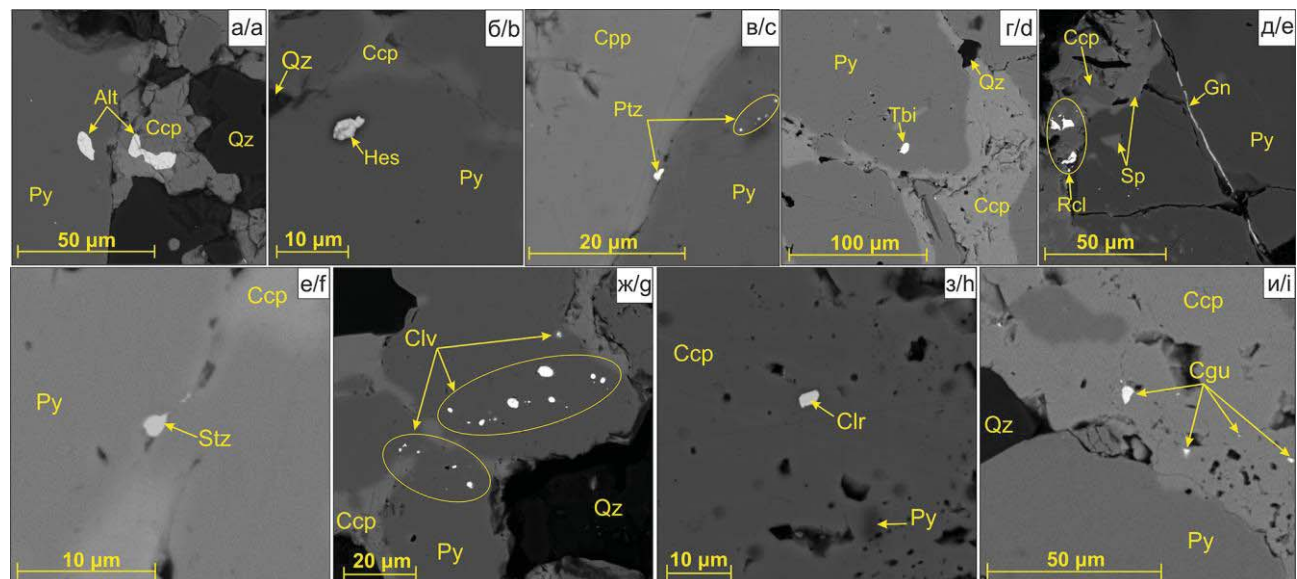


Рис. 3. Снимки со сканирующего электронного микроскопа, демонстрирующие включения алтаита (а), гессита (б), петцита (в), теллуробисмутита (г), раклиджита (д), штютцита (е), калаверита (ж), колорадоита (ж), ченгуодайта (и). Условные обозначения: Py – пирит, Qz – кварц, Ccp – халькопирит, Sp – сфалерит, Gn – галенит, Alt – алтаит, Hes – гессит, Clv – калаверит, Tbi – теллуробисмутит, Rcl – раклиджит, Stz – штютцит, Cgu – ченгуодайт, Ptz – петзит, Clr – колорадоит

Fig. 3. Scanning electron microscope images showing inclusions of altaite (a), hessite (b), petzite (c), tellurobismuthite (d), rakliljite (e), stuttzite (f), calaverite (g), coloradoite (h), chenguodaite (i). Legend: Py – pyrite, Qz – quartz, Ccp – chalcopyrite, Sp – sphalerite, Gn – galena, Alt – altaite, Hes – hessite, Clv – calaverite, Tbi – tellurobismuthite, Rcl – rakliljite, Stz – stuttzite, Cgu – chenguodaite, Ptz – petzite, Clr – coloradoite

По распространенности минералов теллуро-висмутового состава в рудах наблюдается значительное преобладание изоклейкита ( $Pb_{27}(Cu, Fe)_2(Sb, Bi)_{19}S_{57}$ ), далее в порядке убывания расположены самородный висмут ( $Bi$ ), гессит ( $AgTe_2$ ), алтait ( $PbTe$ ), сстрокайт ( $Bi_3TeS_2$ ), цервеллеит ( $Ag_4TeS$ ), ксилингойт ( $Pb_3Bi_2S_6$ ) и плюмботеллурит ( $PbTeO_3$ ). К сплошному типу оруденения приурочено до 64 % всей Te-Bi минерализации, где диагностированы такие минеральные формы, как изоклейкит, самородный висмут, сстрокайт, гессит и ксилингойт. Практически 36 % от общего объема выявленных минеральных агрегатов теллуро-висмутового состава отмечаются во вкрапленном типе оруденения и представлены алтaitом, цервеллеитом, гесситом и плюмботеллуритом.

Выявленные минералы разделены на три системы (табл. 2), для которых характерно многообразие форм выделения, а также общее сходство – приуроченность к сульфидным минералам.

Как было сказано ранее, самым распространенным минералом является *изоклейкит* ( $Pb_{27}(Cu, Fe)_2(Sb, Bi)_{19}S_{57}$ ), диагностированный в сплошных рудах в виде неправильных агрегатов зачастую с рваными краями. В качестве обособленных выделений размером от 10 до 150 мкм, концентрирующихся в халькопирит-пиритовой массе, минерал наблюдается редко. Обычно данные агрегаты имеют четкие уплощенные контуры за счет стенок пустотных пространств (рис. 4, *a*). Чаще всего изоклейкит находится в парагенетической ассоциации с фрейбергитом, самородным висмутом или галенитом. Данные формы выделения приурочены обычно к сфалерит-пирит-халькопиритовой массе, а размер их не превышает 80 мкм. Наличие включений (прорастания) самородного висмута в изоклейките свидетельствует о распаде твердого вещества и срастании данных минералов [29].

**Таблица 2. Общая характеристика минералов Te-Bi состава на Малеевском месторождении**

**Table 2. General characteristics of minerals of Te-Bi composition at the Maleevskoe deposit**

Минерал Mineral	Рассчитанные усредненные формульные коэффициенты [21] Calculated average formula coefficients [21]	Минерал-хозяин Host mineral	Форма выделения Selection form	Примеси (усредненные значения) Impurities (average values)	Приуроченность к текстурно-структурному типу оруденения Confinement to the textual-structural type of mineralization
Система Ag-Pb-Te, S, O/Ag-Pb-Te, S, O system					
Алтait Altaite	$Pb_{0.97}Te_{1.00}$	Халькопирит, сфалерит Chalcopyrite, sphalerite	Неправильная, угловатая Irregular, angular	Ag (3,56 %)	Вкрапленный Interspersed
Плюмботеллурит Plumbotellurite	$Pb_{0.99}Te_{1.00}O_{2.82}$	Рутил, пирит Rutile, pyrite	Неправильная амебообразная Irregular, amoeba-shaped	-	Вкрапленный Interspersed
Гессит Hessite	$Ag_{1.98}Te_{1.00}$	Пирит Pyrite	Неправильная, округлая Irregular, round	Pb (1,28 %)	Вкрапленный, сплошной Interspersed, solid
Цервеллеит Cervellite	$Ag_{4.21}Te_{1.06}S_{1.00}$	Халькопирит Chalcopyrite	Неправильная, слабоизометрическая, вытянутая прямоугольная Irregular, weakly isometric, elongated rectangular	Pb (1,11 %)	Вкрапленный Interspersed
Система Pb-Bi-Te, S/Pb-Bi-Te, S system					
Висмут самородный Native bismuth	Bi	Ксилингойт, изоклейкит Xilingoite, isocleukite	Ламелевидная, неправильная, эмulsionная Lamella-shaped, incorrect, emulsion	-	Сплошной/Solid
Сстрокайт Sztrokayite	$Bi_{3.17}Te_{1.12}S_{2.00}$	Пирит, халькопирит, анкерит Pyrite, chalcopyrite, ankerite	Проволочковидная, неправильная, угловатая Wire-like, irregular, angular	-	
Ксилингойт Xilingoite	$Pb_{3.18}Bi_{2.09}S_{6.00}$	Пирит, халькопирит Pyrite, chalcopyrite	Эмульсионная, неправильная Emulsion, irregular	Se (0,17 %)	
Система Pb-Bi-Sb, S, Cu, Fe/System Pb-Bi-Sb, S, Cu, Fe					
Изоклейкит Izoklakeite	$(Pb_{27.14}(Cu_{1.54}, Fe_{0.49})_{2.03} (Sb_{10.99}, Bi_{7.94})_{18.93}S_{57.00})$	Пирит, халькопирит, сфалерит Pyrite, chalcopyrite, sphalerite	Эмульсионная, неправильная Emulsion, irregular	-	Сплошной/Solid

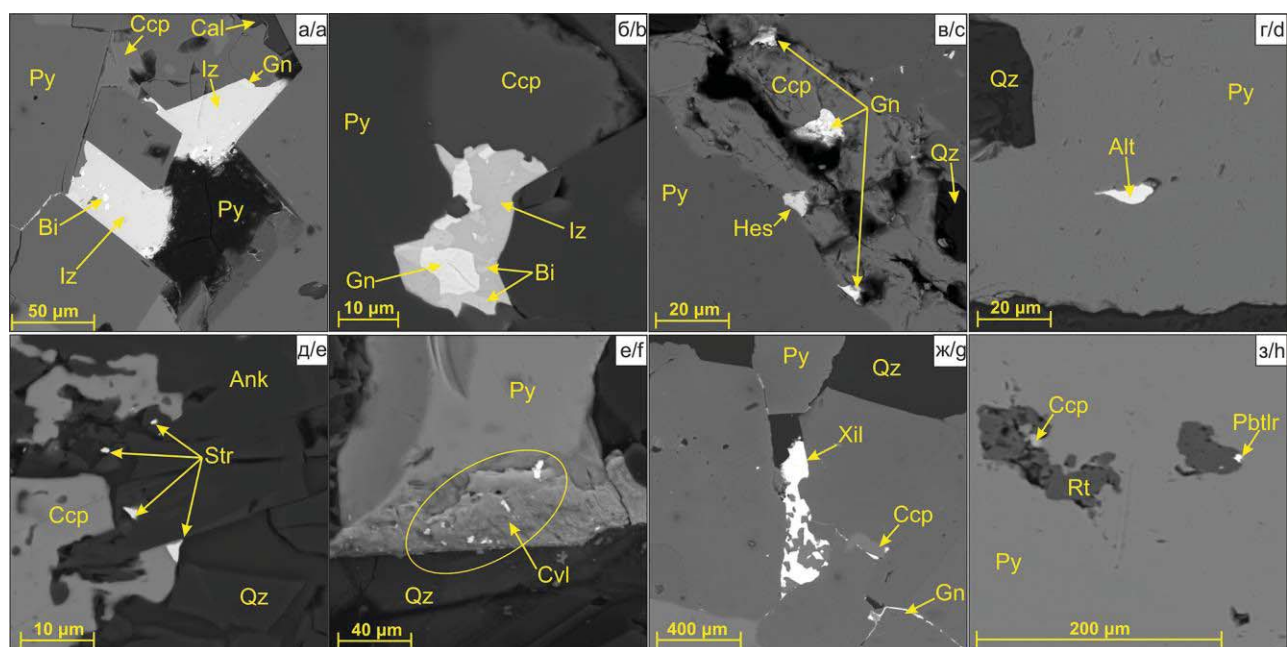
*Самородный висмут (Bi)* является вторым минералом по распространенности, приурочен исключительно к сплошным рудам. Минерал отмечается в тесном парагенезисе с изоклайкитом (рис. 4, б) и ксилингойтом, образуя в нем ламелевидные и графические включения размером до 5 мкм, интерпретирующие распад твердого раствора. Данные образования (изоклайкит±самородный висмут или ксилингойт±самородный висмут) наблюдаются в пустотах пирита, арсенопирита и реже халькопирита.

Третьим минералом по распространенности является *гессит* ( $Ag_2Te$ ), обнаруженный как во вкрапленных, так и в сплошных рудах. Агрегаты характеризуются неправильными, угловатыми формами, сконцентрированными в пустотах и трещинах пирита и халькопирита, а также на контакте данных сульфидов (рис. 4, в). Размер агрегатов в среднем составляет 5–10 мкм. Не раз отмечалась взаимосвязь теллурида серебра с галенитом, характеризующаяся графическими вкраплениями гессита в сульфиде.

*Алтаит* ( $PbTe$ ) четвертый минерал по распространенности, диагностированный во вкрапленном типе оруденения. Сосредоточен в трещинах и пу-

стотах пирита (рис. 4, г) и халькопирита в виде неправильных, зачастую угловатых агрегатов размером 0,5–1,5 мкм. Достаточно часто устанавливается парагенетическая связь данного минерала с гесситом ( $Ag_2Te$ ), что подтверждает их принадлежность к общей минеральной ассоциации.

*Сстрокайт* ( $Bi_3TeS_2$ ) является пятым по распространенности минералом Te-Bi состава, диагностированным исключительно в сплошных рудах. Теллурид висмута развивается по пустотам в пирите, халькопирите и спорадически образует на границе кварца с анкеритом скопления включений (рис. 4, д). Более распространенные формы выделения – уплощенные проволочковидные агрегаты, образованные в результате заполнения трещин в пирите и между пиритом и халькопиритом. Данные агрегаты прерывисто заполняют пустоты, за счет чего и непродолжительны по длине – от 4 до 10 мкм. Зерна неправильных и угловатых форм обычно наблюдаются в пустотах и трещинах халькопирита или же на контакте халькопирита с кварцем, при этом зачастую отмечаются неравномерные скопления агрегатов сстрокайта в количестве 2–4 единиц. Размер агрегатов при этом варьирует в пределах 2,3–5,8 мкм.



**Рис. 4.** Снимки со сканирующего электронного микроскопа в обратно рассеянных электронах, демонстрирующие включения в рудах изоклайкита (а), самородного висмута (б), гессита (в), алтаита (г), сстрокайта (д), цервеллеита (е), ксилингойта (ж), плюмботеллурита (з). Условные обозначения: Py – пирит, Qz – кварц, Ank – анкерит, Ccp – халькопирит, Sp – сфалерит, Gn – галенит, Alt – алтаит, Hes – гессит, Cvl – цервеллеит, Xil – ксилингойт, Pbtlr – плюмботеллурит, Iz – изоклайкит, Bi – самородный висмут, Str – сстрокайт, Fb – фрейбергит

**Fig. 4.** Backscattered electron scanning electron microscope images showing inclusions in ores of izoklakite (a), native bismuth (b), hessite (c), altaite (d), sztrokayite (e), cervellite (f), xilingoite (g), plumbotellurite (h). Legend: Py – pyrite, Qz – quartz, Ank – ankerite, Ccp – chalcopyrite, Sp – sphalerite, Gn – galena, Alt – altaite, Hes – hessite, Cvl – cervellite, Xil – xilingoite, Pbtlr – plumbotellurite, Iz – izoklakite, Bi – native bismuth, Str – sztrokayite, Fb – freibergite

*Цервеллеит ( $Ag_3TeS$ )* является шестым по распространенности минералом. Диагностирован в рудах вкрапленного типа, где представлен агрегатами неправильных форм: вытянутыми, слабопрямоугольными, амебообразными, угловатыми. Минерал приурочен к пустотам и трещинам в пирите (рис. 4, *е*) и халькопирите. При этом зачастую в пирите отмечаются неравномерные скопления агрегатов данного теллурида, а в халькопирите диагностируются лишь обособленные его индивиды. Размер включений варьирует в диапазоне 1,5–3,7 мкм.

*Ксилонгойт ( $Pb_3Bi_2S_6$ )* является седьмым минералом по распространенности, развит исключительно в рудах сплошного типа. Обычно сульфовисмутид свинца неравномерно заполняет трещины и пустоты в пирите и халькопирите или промежутки между данными сульфидами, образуя тем самым своеобразные неправильные формы выделения с уплощенными и зачастую занозистыми краями (рис. 4, *ж*). Нередко сульфид пространственно ассоциирует с самородным висмутом и фрайбергитом. Размер агрегатов составляет 35–55 мкм с преобладанием более крупных образований.

Выявленный *плюмботеллурит ( $PbTeO_3$ )* представлен в виде псевдоморфоз по алтaitу. Минерал спорадически распространен во вкрапленных рудах, диагностирован в виде агрегатов неправильных форм, приуроченных к таким минералам, как рутил и пирит. В рутиле, заключенном в пирите, минерал концентрируется обычно на его периферии (рис. 4, *з*) в виде неправильных зерен размером до 2,6 мкм. Второй вариант отложения теллуридного минерала – заполнение пустот и трещин в пирите. В данном случае агрегаты прерывисты и обычно имеют неровные или извилистые края. Размер данных включений составляет 10–20 мкм.

#### Последовательность минералообразования

С целью расшифровки условий образования теллуро-висмутовой минерализации в колчеданных рудах месторождения Абыз и Малеевское особое внимание было удалено термобарогеохимическому изучению флюидных (газово-жидких) включений (ГЖВ) [22–28] в жильном кварце.

По результатам исследований распределение температур по стадиям минералообразования (табл. 3) на месторождении Абыз следующее:

- менее 110 °C – пострудная стадия (карбонат-кварцевая ассоциация);
- 113–236 °C – рудная стадия золото-серебро-висмут-теллуридной ассоциации;
- 245–300 °C – рудная стадия золото-сульфидной ассоциации;
- 305–350 °C – дорудная стадия (березитовая ассоциация).

*Дорудная стадия* представлена березитовой ассоциацией, по минеральному составу характеризующейся кварц-серицитовыми, серицит-кварцевыми и серицит-анкерит-кварцевыми метасоматитами. В данную стадию активно отлагались такие минералы, как кварц  $SiO_2$  I генерации, анкерит  $Ca(Fe,Mg,Mn)(CO_3)_2$  I генерации, серицит  $KAl_2[AlSi_3O_{10}](OH)$  и мусковит  $KAl_2[AlSi_3O_{10}](OH)$ . На завершении стадии формировался пирит  $FeS_2$  I генерации. Температура минералообразования данной стадии находится в пределах 350–305 °C. Давление минералообразующего флюида оценивается в интервале 1150–810 бар.

В пределах *рудной стадии* выделено две ассоциации: золото-сульфидная и золото-серебро-висмут-теллуридная.

В золото-сульфидную ассоциацию формировались главные рудные сульфидные минералы: пирит  $FeS_2$  II генерации, халькопирит  $CuFeS_2$ , сфалерит  $ZnS$ , галенит  $PbS$ , арсенопирит  $FeAsS$ . На завершение формирования данной ассоциации в качестве редких и очень редких минералов образовывались лаутит  $CuAsS$ , электрум  $AuAg$  и самородное золото  $Au$ . Среди нерудных минералов развивались кварц  $SiO_2$  и анкерит  $Ca(Fe,Mg,Mn)(CO_3)_2$  II генераций. Температура минералообразования в данную ассоциацию составляет 300–245 °C. Давление минералообразующего флюида варьирует в диапазоне 790–550 бар.

Во вторую рудную ассоциацию, непосредственно золото-серебро-висмут-теллуридную, происходит позднее наложение на ранние сульфиды кюстелита  $AgAu$ , а также теллуро-висмутовых минералов: гессита  $Ag_2Te$ , петцита  $Ag_3AuTe_2$ , калаверита  $AuTe_2$ , алтита  $PbTe$ , раклиджита  $(Bi,Pb)_3Te_4$ , штютцита  $Ag_5Te_3$ , колорадоита  $HgTe$  и теллуровисмутита  $Bi_2Te_3$ . Среди нерудных минералов отмечаются кварц  $SiO_2$  и анкерит  $Ca(Fe,Mg,Mn)(CO_3)_2$  III генераций. Температура минералообразования данной ассоциации варьировалась в диапазоне 236–113 °C, а давление не превышало 550–300 бар.

Завершает процесс минералообразования *пострудная стадия*, представленная карбонат-кварцевой ассоциацией. На протяжении данной стадии происходит кристаллизация кварца  $SiO_2$  IV генерации. В качестве просечек, прожилков и неправильных обособленных агрегатов формируется анкерит  $Ca(Fe,Mg,Mn)(CO_3)_2$  IV генерации. Температура минералообразования данной стадии составляет менее 110 °C, а давление не превышает 310 бар.

Высокотемпературный гидротермальный процесс [7, 19, 20, 23–29] на Малеевском месторождении был длительным и проявился в три последовательные стадии (табл. 4): дорудную, рудную и пострудную [29].

**Таблица 3.** Схема последовательности минералообразования на месторождении Абыз

**Table 3.** Scheme of the sequence of mineral formation at the Abyz deposit

СТАДИЯ Минеральная ассоциация	ДОРУДНАЯ		РУДНАЯ		ПОСТРУДНАЯ
	Березитовая	Золото-сульфидная	Золото-серебро-висмут-теллуридная	Карбонат-кварцевая	
КВАРЦ	I	II	III	IV	
АНКЕРИТ	I	II	III	IV	
СЕРИЦИТ					
МУСКОВИТ					
ПИРИТ	I	II	III		
АРСЕНОПИРИТ					
ХАЛЬКОПИРИТ					
СФАЛЕРИТ					
ГАЛЕНИТ		I	II		
ТЕТРАЭДРИТ					
БОРНИТ					
ПИРРОТИН					
КУБАНИТ					
ПИРАРГИТ					
СТЕФАНИТ					
ЭЛЕКТРУМ					
ЛАУТИТ					
ЭНАРГИТ					
ТЕННАНТИТ					
САМОРОДНОЕ ЗОЛОТО					
ПРУСТИТ					
МЕДЬ					
АЛТАИТ					
КЮСТЕЛИТ					
ПЕТЦИТ					
КАЛАВЕРИТ					
ГЕССИТ					
ЧЕНГУОДАИТ					
ШПЮТИЦИТ					
РАКЛИДЖИТ					
КОЛОРАДОИТ					
ТЕЛЛУРОВИСМУТИТ					
T °C	350...305	300...245	236...113	110..80	
Давление, бар	1150...810	790...550	550...300	310...190	
Сolenость, мас. % экв. NaCl	7...5,5	8,5...7	10...8	5...2,7	
Состав растворов	H <sub>2</sub> O+NaCl	H <sub>2</sub> O+NaCl+Na <sub>2</sub> SO <sub>4</sub>	H <sub>2</sub> O+NaCl+Na <sub>2</sub> SO <sub>4</sub>	H <sub>2</sub> O+NaCl	
Тектонические подвижки, интенсивность их проявления					
Текстуры	Сплошная, вкрапленная, прожилковая, гнездовая				
Структуры	Идио-алло-гипидиоморфнозернистая, лепидо-гетеро-гранобластовая, коррозионная, эмульсионная, цементная, решетчатая, графическая, метаколлоидная, реликтовая, осколочная, ситовидная, пойкилитовая, структура распада твердых растворов.				

В дорудную стадию, представленную березитовой ассоциацией, происходит образование кварц-серицитовых, серицит-кварцевых и анкерит-серицит-кварцевых метасоматитов. На протяжении данной стадии отлагались кварц  $\text{SiO}_2$  I генерации, анкерит  $\text{Ca}(\text{Fe},\text{Mg},\text{Mn})(\text{CO}_3)_2$  I генерации, серицит  $\text{KAl}_{12}[\text{AlSi}_3\text{O}_{10}](\text{OH})$ . На завершении стадии кристаллизовался пирит  $\text{FeS}_2$  I генерации. По результа-

там проведенных термобарогеохимических исследований температурный диапазон минералообразования для данной стадии составляет 360–305 °C. Давление минералообразующего флюида оценивается в интервале 1000–850 бар.

Рудная стадия представлена двумя ассоциациями: золото-сульфидной и серебро-висмут-теллурид-сульфидной.

**Таблица 4.** Схема последовательности минералообразования на месторождении Малеевское

**Table 4.** Scheme of the sequence of mineral formation at the Maleevskoe deposit

СТАДИЯ Минеральная ассоциация Минералы	ДОРУДНАЯ	РУДНАЯ		ПОСТРУДНАЯ
	Березитовая	Золото-сульфидная	Серебро-висмут-теллурид-сульфидная	Кварц-карбонатная
КВАРЦ	I	II	III	IV
АНКЕРИТ	I	II	III	IV
СЕРИДИТ				
ПИРИТ	I	II	III	
АРСЕНОПИРИТ				
ХАЛЬКОПИРИТ	I	II	II	
МОЛИБДЕНИТ			II	
СФАЛЕРИТ				
ГАЛЕНИТ		I	II	
ТЕТРАЭДРИТ				
МАРКАЗИТ				
ГУДМУНДИТ				
ДИГЕНИТ				
САМОРОДНОЕ ЗОЛОТО				
ФАМАТИНИТ				
ФРАЙБЕРГИТ				
ИЗОКЛЕЙКИТ				
НИСБИТ				
КСИЛИНГОИТ				
ВИСМУТ				
ССТРОКАИТ				
ФАЗА PbAg <sub>2</sub> Te				
ГЕССИТ				
АРГЕНИТ				
ПЛЮМБОТЕЛЛУРИТ				
АЛТАИТ				
ЦЕРВЕЛЛЕИТ				
Т °С	360...305	315...280	280...150	150...80
Давление, бар	1000...850	840...630	615...400	380...205
Соленость, мас. % экв. NaCl	6,6...4,5	12,4...7	16,1...13,5	6...2,1
Состав растворов	H <sub>2</sub> O+NaCl	H <sub>2</sub> O+MgCl <sub>2</sub> +CO <sub>2</sub>	H <sub>2</sub> O+NaCl+MgCl <sub>2</sub> +CO <sub>2</sub>	H <sub>2</sub> O+NaCl
Тектонические подвижки, интенсивность их проявления				
Текстуры	Сплошная, вкрашенная, прожилковая, гнездовая			
Структуры	Идио-алло-гипидиоморфнозернистая, лепидо-гетеро-гранобластовая, коррозионная, эмульсионная, цементная, решетчатая, графическая, метаколлонидная, реликтовая, осколочная, ситовидная, пойкилитовая, структура распада твердых растворов.			

В золото-сульфидную ассоциацию формировались главные рудные минералы: пирит FeS<sub>2</sub> II генерации, арсенопирит FeAsS, халькопирит CuFeS<sub>2</sub>, сфалерит ZnS, галенит PbS, тетраэдрит (Cu,Fe)<sub>12</sub>Sb<sub>4</sub>S<sub>13</sub>, молибденит MoS<sub>2</sub>. На завершении стадии в качестве редких и очень редких минералов образовались фаматинит Cu<sub>3</sub>SbS<sub>4</sub>, фрайбергит Ag<sub>6</sub>Cu<sub>4</sub>Fe<sub>2</sub>Sb<sub>4</sub>S<sub>13</sub>, самородное золото Au. Среди нерудных минералов развивались кварц SiO<sub>2</sub> и анкерит Ca(Fe,Mg,Mn)(CO<sub>3</sub>)<sub>2</sub> II генерации. Температура минералообразования в данную ассоциацию составляла 315–280 °C. Давление минералообразующего флюида равнялось 840–630 бар.

Во вторую рудную ассоциацию, непосредственно серебро-висмут-теллурид-сульфидную, кристаллизовались пирит FeS<sub>2</sub>, галенит PbS и халькопирит CuFeS<sub>2</sub> III генерации. Далее наблюдается образование минералов теллуро-висмутового состава, представленных строкаитом Bi<sub>3</sub>TeS<sub>2</sub>, ксиллингоитом Pb<sub>3</sub>Bi<sub>2</sub>S<sub>6</sub>, изоклейкитом (Pb<sub>27</sub>(Cu,Fe)<sub>2</sub>(Sb,Bi)<sub>19</sub>S<sub>57</sub>), висмутом самородным Bi, гесситом Ag<sub>2</sub>Te, цервеллеитом Ag<sub>4</sub>TeS, алтайтом PbTe, плюмботеллуритом PbTeO<sub>3</sub>. Температура минералообразования данной ассоциации варьирует в диапазоне 280–150 °C, а давление составляет 615–400 бар.

*Пострудная стадия*, представленная кварц-карбонатной ассоциацией, завершает минералообразование на месторождении. В преобладающем объеме на протяжении всей стадии образовывается кварц IV генерации и в ее завершении анкерит IV генерации. Температура образования пострудной стадии составляет менее 150 °С, а давление варьирует в диапазоне 380–205 бар.

#### **Перспективы развития минерально-сырьевой базы на теллур и висмут в пределах территории Центрального и Восточного Казахстана**

Для повышения эффективности отработки колчеданных месторождений на перспективу необходимо взять постоянное восполнение запасов минерального сырья. Выполненные исследования показали четкое различие металлогенеза колчеданных месторождений, приуроченных к палеоокеаническим и палеоконтинентальным структурам Казахстана. По полученным результатам исследования можно сделать вывод, что ресурсный фонд энсиалических и энсиматических комплексов Казахстана могут дополнить такие элементы-спутники, как полуметалл Te и металл Bi, при этом для энсиалических комплексов отмечается преобладание висмутового элемента, а для энсиматических – теллурового (рис. 2, б, в).

Чингиз-Тарбагатайская зона Восточного Казахстана, согласно современным геодинамическим представлениям, является фрагментом раннесреднепалеозойской активной окраины Казахстанского палеоконтинента [42]. В пределах Чингиз-Тарбагатайской островной дуги (рис. 1) известно более 20 колчеданных месторождений, вещественный состав которых близок с месторождением Абыз. Прежде всего это месторождения Майкаинской группы (Майкаин Малый, Большой, А, В, а также Красная Горка и Придорожное), расположенные в Баянаульском районе Павлодарской области. Месторождения данного типа состоят из сингенетичных, массивных или полумассивных сульфидных линз или пластов. Колчеданные залежи в основном сложены пиритом с подчиненным количеством медных минералов (преимущественно халькопиритом и в меньшем объеме блеклой рудой), галенита, сфалерита, арсенопирита, кварца и барита. Основные компоненты руд: медь, свинец, золото, серебро, сера пиритная, барит. Месторождения имеют низкие-средние показатели Au (0,5–2,9 г/т) и средние-высокие содержания Cu (1,3–5 г/т), что позволяет отнести их по запасам к месторождениям среднего типа [43]. Схожие вещественные параметры рудных тел месторождений Майкаинского типа с месторождением Абыз, а также приуроченность их к одноименной островной энсиматической дуге позволяют спрогнозировать в них возможность попутной добычи теллура из колчеданных руд.

В пределах Рудно-Алтайской островной дуги (рис. 1) выделяются колчеданные месторождения Зыряновского рудного узла (Греховское, Майское, Зыряновское, Богатыревское, Парыгинское, Бухтарминское и др.) аналогичные по вещественному составу с изученным месторождением Малеевское.

Формы рудных тел практических всех месторождений имеют схожие черты строения. Колчеданное оруденение на рудноалтайских месторождениях слагает стратифицированные рудные залежи пластообразной и линзовидной форм среди горизонтов терригенно-осадочных пород. Минеральный состав руд в основном представлен пиритом, халькопиритом, сфалеритом, галенитом, арсенопиритом, молибденитом и кварцем. Основные компоненты руд: медь, свинец, золото, серебро. Помимо данных компонентов присутствуют элементы-примеси, представленные кадмием, ртутью, молибденом, кобальтом, мышьяком, сурьмой, висмутом, теллуром, селеном и никелем [2, 5]. Часть месторождений Зыряновского рудного района (Долинное, Тишинское, Зыряновское) характеризуются повышенными содержаниями Au (0,5–5,0 г/т) и низкими Cu (0,1–0,6 г/т), а другая часть (Греховское, Майское, Бухтарминское и др.) наоборот – средними и высокими содержаниями Cu (1,3–5 %) и низкими-средними Au (0,4–3 %), на основании этого колчеданные месторождения данного узла по запасам относятся к среднему типу [43]. За счет аналогичных вещественных характеристик оруденения Малеевского месторождения с месторождениями Зыряновского рудного района, а также приуроченности к одноименным рудному узлу и островной дуге можно прогнозировать в них потенциал попутной добычи висмута из руд.

Полученные результаты позволяют по-новому подойти к стратегии прогнозирования ресурсов минерального сырья колчеданных месторождений-аналогов Абыз и Малеевского, сформированных в подобных геодинамических обстановках на территории Казахстана. Реализация данных прогнозов будет способствовать укреплению минерально-сырьевой базы страны.

#### **Заключение**

Для месторождений выполнен сравнительный анализ вещественных комплексов рудных тел, где детально изучены условия формирования и закономерности распределения теллуро-висмутовой минерализации. В результате исследований было установлено, что колчеданные руды месторождений Абыз и Малеевское характеризуются довольно сложным минеральным составом, связью минералов между собой и большим набором парагенезисов. Месторождения имеют многостадийное формирование и близкий механизм рудоотложения со сходными физико-химическими условиями образования руд.

В колчеданных рудах месторождений выявлено многообразие теллуро-висмутовой минерализации. Впервые нами в рудах Малеевского месторождения выделены плюмботеллурит  $Pb_2TeO_3$ , цервеллеит  $Ag_4TeS$  и ксилингойт  $Pb_3Bi_2S_6$ . В свою очередь, в рудах месторождения Абыз диагностированы такие ранее не известные минералы, как калаверит  $AuTe_2$ , ченгуодайт  $Ag_9FeTe_2S_4$ , раклиджит  $(Bi, Pb)_3Te_4$  и штютцит  $Ag_5Te_3$ .

Взаимоотношения между основными рудными сульфидными минералами и минералами Te-Bi состава в рудах месторождений, а именно развитие их по трещинам, пустотам или на периферии суль-

фидов, указывают на то, что отложение их происходило на завершении рудной стадии. Температурные данные флюидных включений позволяют отнести руды с преобладанием Te (месторождение Абыз) к низкотемпературным, а Bi (месторождение Малеевское) – к мезотермальным.

Комплексное исследование распределения теллуро-висмутовой минерализации в колчеданных рудах также дает возможность оптимизации качества конечного продукта, что, в свою очередь, повышает эффективность и рентабельность производства цветных металлов.

## СПИСОК ЛИТЕРАТУРЫ

- Гаськов И.В. Особенности развития колчеданных рудно-магматических систем в островодужных обстановках Рудного Алтая и Южного Урала // Литосфера. – 2015. – № 2. – С. 17–39.
- Мазуров А.К. Металлогеническое районирование Казахстана // Вестник Томского политехнического университета. – 2005. – Т. 308. – № 4. – С. 33–39.
- Попов В.В. Региональные палеотектонические факторы образования крупных полиметаллических месторождений Рудного Алтая // Геология рудных месторождений. – 1998. – Т. 40. – № 4. – С. 370–378.
- Дегтярев К.Е., Рязанцев А.В. Кембрийская коллизия дуга-континент в палеозоях Казахстана // Геотектоника. – 2007. – № 1. – С. 71–96.
- Большой Алтай (геология и металлогенез). В 3 кн. Кн. 2. Металлогенез / Г.Н. Щерба, Х.А. Беспаев, Б.А. Дьячков и др. – Алматы: РИО ВАК РК, 2000. – 400 с.
- Козлов М.С. Условия формирования Рудноалтайской металлогенической провинции // Геология рудных месторождений. – 2015. – Т. 57. – № 4. – С. 299–326.
- Викентьев И.В. Условия формирования и метаморфизм колчеданных руд. – М.: Научный мир, 2004. – 344 с.
- Ciobanu C.L., Cook N.J., Spry P.G. Telluride and selenide minerals in gold deposits – how and why? // Mineralogy and Petrology. – 2006. – Vol. 87. – Р. 163–169.
- Древнейшие гранитоиды Чингиз-Тарбагатайской палеостроводужной системы (Восточный Казахстан): обоснование возраста и особенности состава / К.Е. Дегтярев, А.А. Третьяков, М.В. Луцицкая, Н.Л. Вахтина, Е.Б. Сальникова // Геодинамическая эволюция литосферы Центрально-Азиатского подвижного пояса (от океана к континенту). – 2023. – № 21. – С. 69–71.
- Некоропев В.П. Геология Алтая. – М.: Росгеолтехиздат, 1958. – 262 с.
- К проблеме формирования колчеданно-полиметаллических месторождений Рудного Алтая / Б.А. Дьячков, М.А. Мизерная, А.П. Пяткова, А.Е. Бисатова, А.П. Мирошникова, О.Н. Кузьмина, Н.А. Зиманская, Т.А. Ойцева, З.А. Черненко // Отечественная геология. – 2021. – № 5. – С. 3–16.
- Geological history of the Great Altai: implications for mineral exploration / B.A. Dyachkov, M.A. Mizernaya, S.V. Khromykh, A.Y. Bissatova, T.A. Oitseva, A.P. Miroshnikova, O.V. Frolova, O.N. Kuzmina, N.A. Zimanovskaya, A.P. Pyatkova, K. Zikirova, O.V. Ageyeva, Y.T. Yeskaliyev // Minerals. – 2022. – Vol. 744. – № 12 (6). – Р. 1–23.
- Дьячков Б.А., Титов Д.В., Сапаргалиев Е.М. Рудные пояса Большого Алтая и оценка их перспектив // Геология рудных месторождений. – 2009. – Т. 51. – № 3. – С. 222–238.
- Оценка экотоксичности висмута по активности каталазы в зависимости от химического соединения и буферности почв / Л.В. Судьина, С.И. Колесников, Т.В. Минникова, Т.А. Тер-Мисакянц, Е.Н. Неведомая, К.Ш. Казеев // Известия вузов. Северо-Кавказский регион. Естественные науки. – 2021. – № 2 (210). – С. 126–133.
- Оценка экотоксичности тяжелых металлов, металлоидов и неметаллов, содержащихся в отходах предприятий горной промышленности / Н.А. Естегнеева, С.И. Колесников, Т.В. Минникова, А.Н. Тимошенко // ГИАБ. Горный информационно-аналитический бюллетень. – 2023. – № 5-1. – С. 73–85.
- Минерагеническая карта Казахстана / Л.А. Мирошниченко, Н.М. Жуков, Х.А. Беспаев, Б.С. Ужженов, А.К. Мазуров, А.Л. Киселев, Ф.Г. Губайдуллин, Т.М. Жаутиков, Э.С. Воцалевский, Д.А. Шлыгин, В.М. Пилифосов, Т.М. Шлыгина // Геология Казахстана. – 2001. – Т. 3–4 (371–372). – С. 73–85.
- Золото в рудах золото-колчеданного месторождения Абыз (Центральный Казахстан) / А.К. Мазуров, А.Н. Николаева, М.А. Рудмин, Т.Ю. Яич, А.С. Рубан, Ш.Ж. Байболова // Известия Томского политехнического университета. Инженеринг георесурсов. – 2021. – Т. 332. – № 11. – С. 78–88.
- Колчеданные месторождения энсиматических островных дуг Казахстана на примере месторождения Абыз / А.К. Мазуров, М.А. Рудмин, Ш.Ж. Байболова, Т.В. Кряжева // Известия Томского политехнического университета. Инженеринг георесурсов. – 2020. – Т. 331. – № 4. – С. 28–37.
- Закономерности формирования колчеданно-полиметаллических месторождений на примере месторождения Малеевское / А.П. Пяткова, М.А. Мизерная, А.П. Мирошникова, А.В. Пятков, М.П. Половко // Вестник Восточно-Казахстанского государственного технического университета им. Д. Серикбаева. – 2018. – № 4 (82). – С. 32–38.
- Юдовская М.А. Минералого-geoхимические особенности и условия формирования руд Малеевского месторождения на Рудном Алтае: дис. ... канд. геол.-минерал. наук. – Усть-Каменогорск, 1984. – 209 с.

21. Mineralogy Database. URL: <https://www.webmineral.com> (дата обращения 17.04.2024).
22. Николаева А.Н. Теллур и висмут в колчеданных месторождениях Казахстана // Актуальные проблемы геологии, геофизики и геоэкологии: XXXIV Молодежная научная школа-конференция памяти К.О. Кратца и Ф.П. Митрофанова. – СПб, 2–6 октября 2024. – СПб: Свое издательство, 2023. – С. 149–152.
23. Плечов П.Ю. Методы исследования флюидных и расплавных включений. – М.: Изд-во «КДУ», 2014. – 268 с.
24. Кормушин В.А. Метод гомогенизации газово-жидких включений в минералах / под ред. Н.Г. Сыромятникова. – Алматы: Наука, 1982. – 72 с.
25. Прокофьев В.Ю. Геохимические особенности рудообразующих флюидов гидротермальных месторождений золота различных генетических типов (по данным исследования флюидных включений). – Новосибирск: Наука, 2000. – 186 с.
26. Наумов В.А., Дорофеева В.А., Миронова О.Ф. Основные физико-химические параметры природных минералообразующих флюидов // Геохимия. – 2009. – № 8. – С. 825–851.
27. Manning C.E. Fluids of the lower crust: deep is different // Annual Review of Earth and Planetary Sciences. – 2018. – Vol. 46. – P. 67–97.
28. German C.R., Von Damm K.L. Hydrothermal Processes // Treatise on Geochemistry. – 2003. – Vol. 6–9. – P. 181–222.
29. Николаева А.Н., Мазуров А.К. Теллуро-висмутовая минерализация в рудах Малеевского колчеданного месторождения (Восточный Казахстан) // Известия Томского политехнического университета. Инженеринг георесурсов. – 2024. – Т. 335. – № 5. – С. 233–250. DOI: 10.18799/24131830/2024/5/4209
30. Гусева А.И., Гусев Н.И. Висмутовое оруденение Республики Алтай: типизация и прогнозная оценка // Успехи современного естествознания. – 2013. – № 3. – С. 52–57.
31. In situ trace elements and sulfur isotopes of sulfides in the Dabaiyang Te-Au deposit, Hebei Province, China: Implications for Au remobilization from pyrite / Y. Zhang, S. Zhen, D. Wang, J. Liu, J. Wang, Z. Zha, H. Bai // Ore Geology Reviews. – 2022. – Vol. 140. – P. 1–16.
32. Ahmad M., Solomon M., Walshe J.L. Mineralogical and geochemical studies of the Emperor gold telluride deposit, Fiji // Economic Geology. – 1987. – Vol. 82. – P. 345–370.
33. Au-Ag-Te-Rich melt inclusions in hydrothermal gold-quartz veins, Xiaoqinling lead gold district, central China / W. Jian, J.W. Mao, B. Lehmann, N.J. Cook, G.Q. Xie, P. Liu, C. Duan, J. Alles, Z.J. Niu // Economic Geology. – 2021. – Vol. 116 (5). – P. 1239–1248.
34. Bacteria-driven fossil ecosystems as paleoindicators of active continental margins and the role of carbonate sediment-hosted vents in geodynamic reconstructions / L. Bujtor, I. Gyollai, M. Szabo, I. Kovacs, M. Polgari // Minerals. – 2024. – Vol. 14. – № 125. – P. 1–22.
35. Rabayrol F., Hart C.J.R. Petrogenetic and tectonic controls on magma fertility and the formation of post-subduction porphyry and epithermal mineralization along the late Cenozoic Anatolian Metallogenic Trend, Turkey // Mineralium Deposita. – 2020. – Vol. 56. – P. 279–306.
36. Linear correlations of Gibbs free energy of REE phosphates (monazite, xenotime, and rhabdophane) and internally consistent binary mixing properties / R. Pan, A.P. Gysi, A. Migdisov, L. Gong, P. Lu, C. Zhu // Minerals. – 2024. – Vol. 14. – № 305. – P. 1–18.
37. Reversible thermochromic bismuth iodide enabled by self-adjustment / R. Wen, Y. Wang, X. Ma, Y. Yan, Q. Ma, J. Gao, H. Sun, H. Huang, Z. Gao // Adv. Opt. Mater. – 2023. – 11 (9). DOI: 10.1002/adom.202203148.
38. Warmada I.W., Lehmann B. Polymetallic sulfides and sulfosalts of the Pongkor epithermal gold–silver deposit, West Java, Indonesia // The Canadian Mineralogist. – 2003. – Vol. 41. – P. 185–200.
39. The role of Te(IV) and Bi(III) chloride complexes in hydrothermal mass transfer: An X-ray absorption spectroscopic study / B.E. Etschmann, W. Liu, A. Pring, P.V. Grundler, B. Tooth, S. Borg, D. Testemale, D. Brewe, J. Brugger // Chemical Geology. – 2016. – Vol. 425. – P. 37–51.
40. Speciation of aqueous tellurium (IV) in hydrothermal solutions and vapors, and the role of oxidized tellurium species in Te transport and gold deposition / P.V. Grundler, J. Brugger, B.E. Etschmann, L. Helm, W. Liu, P.G. Spry, Y. Tian, D. Testemale, A. Pring // Geochimica et Cosmochimica Acta. – 2013. – Vol. 120. – P. 298–325.
41. Mineralogy and geochemistry of Cu-Rich ores from the McCreedy east Ni-Cu-PGE deposit (Sudbury, Canada): implications for the behavior of platinum group and chalcophile elements at the end of crystallization of a sulfide liquid / S.A.S. Dare, S.-J. Barnes, H.M. Prichard, P.C. Fisher // Economic Geology. – 2014. – Vol. 109. – P. 343–366.
42. Царева М.Д., Хромых С.В., Котлер П.Д. Петрография и вещественный состав щелочных интрузий Чингиз-Тарбагатайской зоны Восточного Казахстана // Строение литосфера и геодинамика: Материалы XXX Всероссийской молодежной конференции. – Иркутск, 16–21 мая 2023. – Иркутск: Институт земной коры СО РАН, 2023. – С. 297–299.
43. Рафаилович М.С. Крупнотоннажные месторождения золота и цветных металлов Казахстана и соседних регионов Центральной Азии // Известия НАН РК. Серия геологическая. – 2010. – № 6. – С. 12–30.

## Информация об авторах

**Анастасия Николаевна Николаева**, инженер, аспирант отделения геологии Инженерной школы природных ресурсов Национального исследовательского Томского политехнического университета, Россия, 634050, г. Томск, пр. Ленина, 30. nikolaevaanastas759@gmail.com; <https://orcid.org/0009-0003-9058-5048>  
**Алексей Карпович Мазуров**, доктор геолого-минералогических наук, профессор отделения геологии Инженерной школы природных ресурсов Национального исследовательского Томского политехнического университета, Россия, 634050, г. Томск, пр. Ленина, 30. akm@tpu.ru

Поступила в редакцию: 19.05.2024

Поступила после рецензирования: 10.06.2024

Принята к публикации: 14.06.2024

## REFERENCES

1. Gaskov I.V. Features of the development of sulfide ore-magmatic systems in island-arc environments of Rudny Altai and Southern Urals. *Lithosphere*, 2015, no. 2, pp. 17–39. (In Russ.)
2. Mazurov A.K. Metallogenic zoning of Kazakhstan. *Bulletin of the Tomsk Polytechnic University*, 2005, vol. 308, no. 4, pp. 33–39. (In Russ.)
3. Popov V.V. Regional paleotectonic factors in the formation of large polymetallic deposits of Rudny Altai. *Geology of ore deposits*, 1998, vol. 40, no. 4, pp. 370–378. (In Russ.)
4. Degtyarev K.E., Ryazantsev A.V. Cambrian arc-continent collision in the paleozoids of Kazakhstan. *Geotectonics*, 2007, no. 1, pp. 71–96. (In Russ.)
5. Shcherba G.N., Bespaev Kh.A., Dyachkov B.A. and others. *Great Altai (geology and metallogeny). B. 2. Metallogeny*. Almaty, RIO VAK RK Publ., 2000. 400 p. (In Russ.)
6. Kozlov M.S. Conditions for the formation of the Rudno-Altai metallogenic province. *Geology of ore deposits*, 2015, vol. 57, no. 4, pp. 299–326. (In Russ.)
7. Vikentyev I.V. *Conditions of formation and metamorphism of pyrite ores*. Moscow, Nauchny Mir Publ., 2004. 344 p. (In Russ.)
8. Ciobanu C.L., Cook N.J., Spry P.G. Telluride and selenide minerals in gold deposits – how and why? *Mineralogy and Petrology*, 2006, vol. 87, pp. 163–169.
9. Degtyarev K.E., Tretyakov A.A., Luchitskaya M.V., Vakhtina N.L., Salnikova E.B. The oldest granitoids of the Chingiz-Tarbagatai paleo-island-arc system (Eastern Kazakhstan): justification of age and compositional features. *Geodynamic evolution of the lithosphere of the Central Asian mobile belt (from ocean to continent)*, 2023, no. 21, pp. 69–71. (In Russ.)
10. Nekhoroshev V.P. *Geology of Altai*. Moscow, Rosgeoltekhnizdat Publ., 1958. 262 p. (In Russ.)
11. Dyachkov B.A., Mizernaya M.A., Pyatkova A.P., Bisatova A.E., Miroshnikova A.P., Kuzmina O.N., Zimanskaya N.A., Oitseva T.A., Chernenko Z. .A. On the problem of the formation of pyrite-polymetallic deposits of Rudny Altai. *Domestic Geology*, 2021, no. 5, pp. 3–16. (In Russ.)
12. Dyachkov B.A., Mizernaya M.A., Khromykh S.V., Bissatova A.Y., Oitseva T.A., Miroshnikova A.P., Frolova O.V., Kuzmina O.N., Zimanovskaya N.A., Pyatkova A.P., Zikirova K., Ageyeva O.V., Yeskaliyev Y.T. Geological history of the Great Altai: implications for mineral exploration. *Minerals*, 2022, vol. 744, no. 12 (6), pp. 1–23.
13. Dyachkov B.A., Titov D.V., Sapargaliev E.M. Ore belts of the Greater Altai and assessment of their prospects. *Geology of ore deposits*, 2009, vol. 51, no. 3, pp. 222–238. (In Russ.)
14. Sudina L.V., Kolesnikov S.I., Minnikova T.V., Ter-Misakayants T.A., Nevedaya E.N., Kazeev K.Sh. Assessment of the ecotoxicity of bismuth based on catalase activity depending on the chemical compound and soil buffering capacity. *News of universities. North Caucasus region. Natural Sciences*, 2021, no. 2 (210), pp. 126–133. (In Russ.)
15. Estegneeva N.A., Kolesnikov S.I., Minnikova T.V., Timoshenko A.N. Toxicity estimate of heavy metals, metalloids and nonmetals contained in mineral mining waste. *MIAB. Mining Informational and Analytical Bulletin*, 2023, vol. 5-1, pp. 73–85. (In Russ.)
16. Miroshnichenko L.A., Zhukov N.M., Bespaev Kh.A., Uzhkenov B.S., Mazurov A.K., Kiselev A.L., Gubaidlun F.G., Zhautikov T.M., Votsalevsky E. S.S., Shlygin D.A., Pilifosov V.M., Shlygina T.M. Mineragenic map of Kazakhstan. *Geology of Kazakhstan*, 2001, vol. 3–4 (371–372), pp. 73–85. (In Russ.)
17. Mazurov A.K., Nikolaeva A.N., Rudmin M.A., Yakich T.Yu., Ruban A.S., Baibolova Sh. Zh. Gold in the ores of the Abyz gold-pyrite deposit (Central Kazakhstan). *Bulletin of the Tomsk Polytechnic University. Geo Assets Engineering*, 2021, vol. 332, no. 11, pp. 78–88. (In Russ.)
18. Mazurov A.K., Rudmin M.A., Baibolova Sh.Zh., Kryazheva T.V. Pyrite deposits of ensimatic island arcs of Kazakhstan on the example of the Abyz deposit. *Bulletin of the Tomsk Polytechnic University. Geo Assets Engineering*, 2020, vol. 331, no. 4, pp. 28–37. (In Russ.)
19. Pyatkova A.P., Mizernaya M.A., Miroshnikova A.P., Pyatkov A.V., Polovko M.P. Patterns of formation of pyrite-polymetallic deposits using the example of the Maleevskoe deposit. *Bulletin of the East Kazakhstan State Technical University named after D. Serikbaev*, 2018, no. 4 (82), pp. 32–38. (In Russ.)
20. Yudovskaya M.A. *Mineralogical and geochemical features and conditions for the formation of ores of the Maleevsky deposit in Rudny Altai*. Cand. Dis. Ust-Kamenogorsk, 1984. 209 p. (In Russ.)
21. *Mineralogy Database*. Available at: <https://www.webmineral.com> (accessed 14 April 2024).
22. Nikolaeva A.N. Tellurium and bismuth in pyrite deposits of Kazakhstan. *XXXIV Youth Scientific School-Conference in Memory of K.O. Kratz and F.P. Mitrofanov. Current problems of geology, geophysics and geoecology*. St. Petersburg, October 2–6, 2024. St. Petersburg, Own Publ. house, 2023. pp. 149–152. (In Russ.)
23. Plechov P.Yu. *Methods for studying fluid and melt inclusions*. Moscow, KDU Publ., 2014. 268 p. (In Russ.)
24. Kormushin V.A. *Method of homogenization of gas-liquid inclusions in minerals*. Alma-Ata, Nauka Publ., 1982. 72 p. (In Russ.)
25. Prokofiev V.Yu. *Geochemical features of ore-forming fluids of hydrothermal gold deposits of various genetic types (according to the study of fluid inclusions)*. Novosibirsk, Nauka Publ., 2000. 186 p. (In Russ.)
26. Naumov V.A., Dorofeeva V.A., Mironova O.F. Basic physical and chemical parameters of natural mineral-forming fluids. *Geochemistry*, 2009, no. 8, pp. 825–851. (In Russ.)
27. Manning C.E. Fluids of the lower crust: deep is different. *Annual Review of Earth and Planetary Sciences*, 2018, vol. 46, pp. 67–97.
28. German C.R., Von Damm K.L. Hydrothermal Processes. *Treatise on Geochemistry*, 2003, vol. 6–9, pp. 181–222.
29. Nikolaeva A.N., Mazurov A.K. Tellurium-bismuth mineralization in the ores of the Maleevskoe pyrite deposit (Eastern Kazakhstan). *Bulletin of the Tomsk Polytechnic University. Geo Assets Engineering*, 2024, vol. 335, no. 5, pp. 233–250. (In Russ.) DOI: 10.18799/24131830/2024/5/4209
30. Guseva A.I., Gusev N.I. Bismuth mineralization of the Altai Republic: typification and predictive assessment. *Advances in modern natural science*, 2013, no. 3, pp. 52–57. (In Russ.)

31. Zhang Y., Zhen S., Wang D., Liu J., Wang J., Zha Z., Bai H. In situ trace elements and sulfur isotopes of sulfides in the Dabaiyang Te-Au deposit, Hebei Province, China: Implications for Au remobilization from pyrite. *Ore Geology Reviews*, 2022, vol. 140, pp. 1–16.
32. Ahmad M., Solomon M., Walshe J.L. Mineralogical and geochemical studies of the Emperor gold telluride deposit, Fiji. *Economic Geology*, 1987, vol. 82, pp. 345–370.
33. Jian W., Mao J.W., Lehmann B., Cook N.J., Xie G.Q., Liu P., Duan C., Alles J., Niu Z.J. Au-Ag-Te-Rich melt inclusions in hydrothermal gold-quartz veins, Xiaoqinling load gold district, central China. *Economic Geology*, 2021, vol. 116 (5), pp. 1239–1248.
34. Bujtor L., Gyollai I., Szhabo M., Kovacs I., Polgari M. Bacteria-driven fossil ecosystems as paleoindicators of active continental margins and the role of carbonate sediment-hosted vents in geodynamic reconstructions. *Minerals*, 2024, vol. 14, no. 125. pp. 1–22.
35. Rabayrol F., Hart C.J.R. Petrogenetic and tectonic controls on magma fertility and the formation of post-subduction porphyry and epithermal mineralization along the late Cenozoic Anatolian Metallogenic Trend, Turkey. *Mineralium Deposita*, 2020, vol. 56. pp. 279–306.
36. Pan R., Gysi A.P., Migdisov A., Gong L., Lu P., Zhu C. Linear correlations of Gibbs free energy of REE phosphates (monazite, xenotime, and rhabdophane) and internally consistent binary mixing properties. *Minerals*, 2024, vol. 14, 305, pp. 1–18.
37. Wen R., Wang Y., Ma X., Yan Y., Ma Q., Gao J., Sun H., Huang H., Gao Z. Reversible Thermochromic Bismuth Iodide Enabled by Self-Adjustment. *Adv. Opt. Mater.*, 2023, vol. 11 (9). DOI: 10.1002/adom.202203148.
38. Warmada I.W., Lehmann B. Polymetallic sulfides and sulfosalts of the Pongkor epithermal gold–silver deposit, West Java, Indonesia. *The Canadian Mineralogist*, 2003, vol. 41, pp. 185–200.
39. Etschmann B.E., Liu W., Pring A., Grundler P.V., Tooth B., Borg S., Testemale D., Brewe D., Brugger J. The role of Te (IV) and Bi (III) chloride complexes in hydrothermal mass transfer: An X-ray absorption spectroscopic study. *Chemical Geology*, 2016, vol. 425, pp. 37–51.
40. Grundler P.V., Brugger J., Etschmann B.E., Helm L., Liu W., Spry P.G., Tian Y., Testemale D., Pring A. Speciation of aqueous tellurium (IV) in hydrothermal solutions and vapors, and the role of oxidized tellurium species in Te transport and gold deposition. *Geochimica et Cosmochimica Acta*, 2013, vol. 120, pp. 298–325.
41. Dare S.A.S., Barnes S.-J., Prichard H. M., Fisher P.C. Mineralogy and geochemistry of Cu-Rich ores from the McCreedy east Ni-Cu-PGE deposit (Sudbury, Canada): implications for the behavior of platinum group and chalcophile elements at the end of crystallization of a sulfide liquid. *Economic Geology*, 2014, vol. 109, pp. 343–366.
42. Tsareva M.D., Khromykh S.V., Kotler P.D. Petrography and material composition of alkaline intrusions of the Chingiz-Tarbagatai zone of Eastern Kazakhstan. *Structure of the lithosphere and geodynamics. Materials of the XXX All-Russian Youth Conference*. Irkutsk, May 16–21, 2023. Irkutsk, Institute of the Earth's Crust SB RAS Publ., 2023. pp. 297–299. (In Russ.)
43. Rafailovich M.S. Large-tonnage deposits of gold and non-ferrous metals in Kazakhstan and neighboring regions of Central Asia. *Izvestiya NAS RK. Geological series*, 2010, no. 6, pp. 12–30. (In Russ.)

## Information about the authors

**Anastasia N. Nikolaeva**, Engineer, Postgraduate Student, National Research Tomsk Polytechnic University, 30, Lenin avenue, Tomsk, 634050, Russian Federation. nikolaevaanastas759@gmail.com; <https://orcid.org/0009-0003-9058-5048>

**Alexey K. Mazurov**, Dr. Sc., Professor, National Research Tomsk Polytechnic University, 30, Lenin avenue, Tomsk, 634050, Russian Federation. akm@tpu.ru

Received: 19.05.2024

Revised: 10.06.2024

Accepted: 14.06.2024